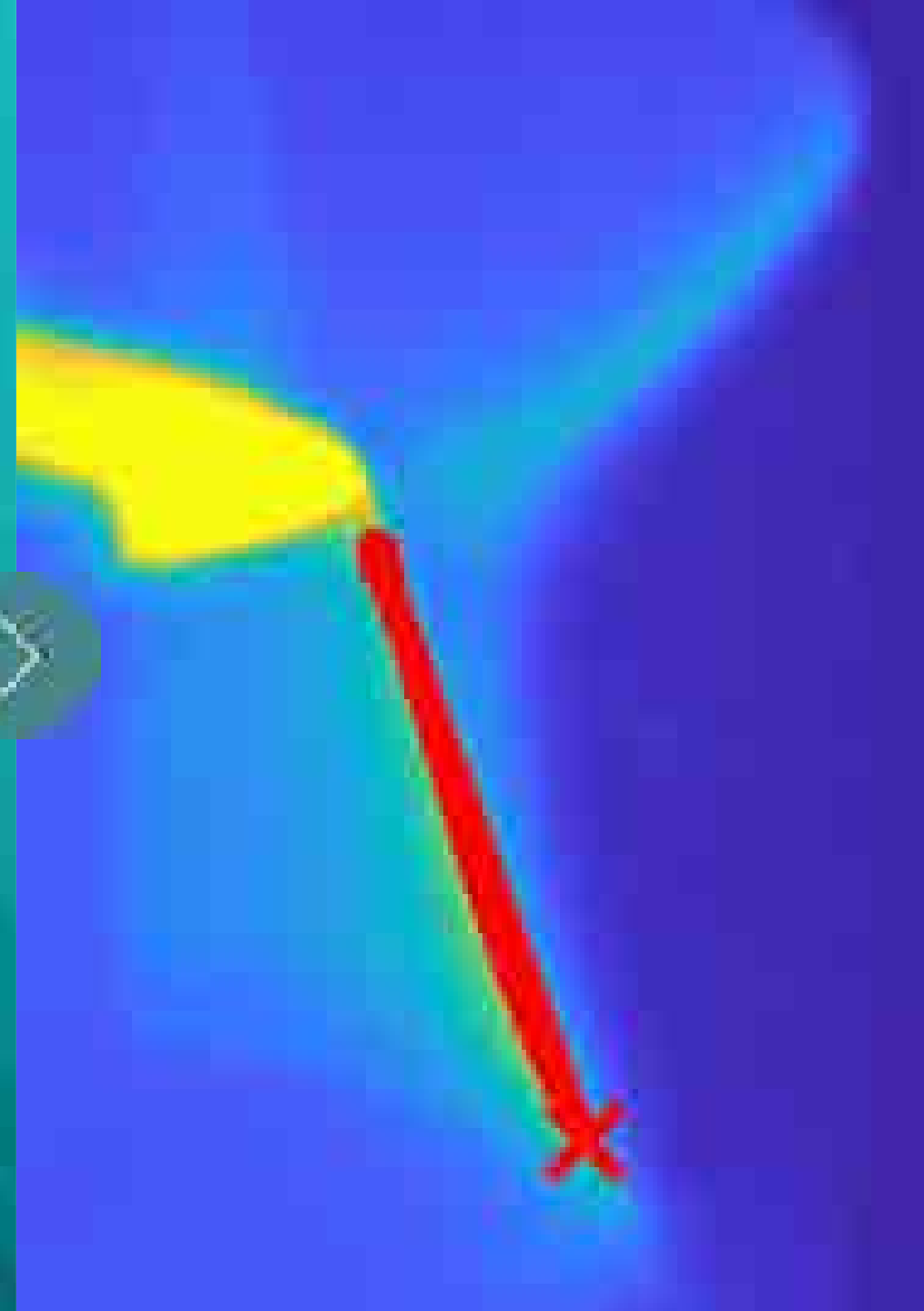


Control of thermal systems in nuclear fusion and industry: data -driven and model -based approaches

Group leader ESCEnergy Systems & Control

DEMO control: detachment control (WPDES),
diagnostics and control (WPDC), tritium fueling
cycle (TFV)

Matthijs van Berkel



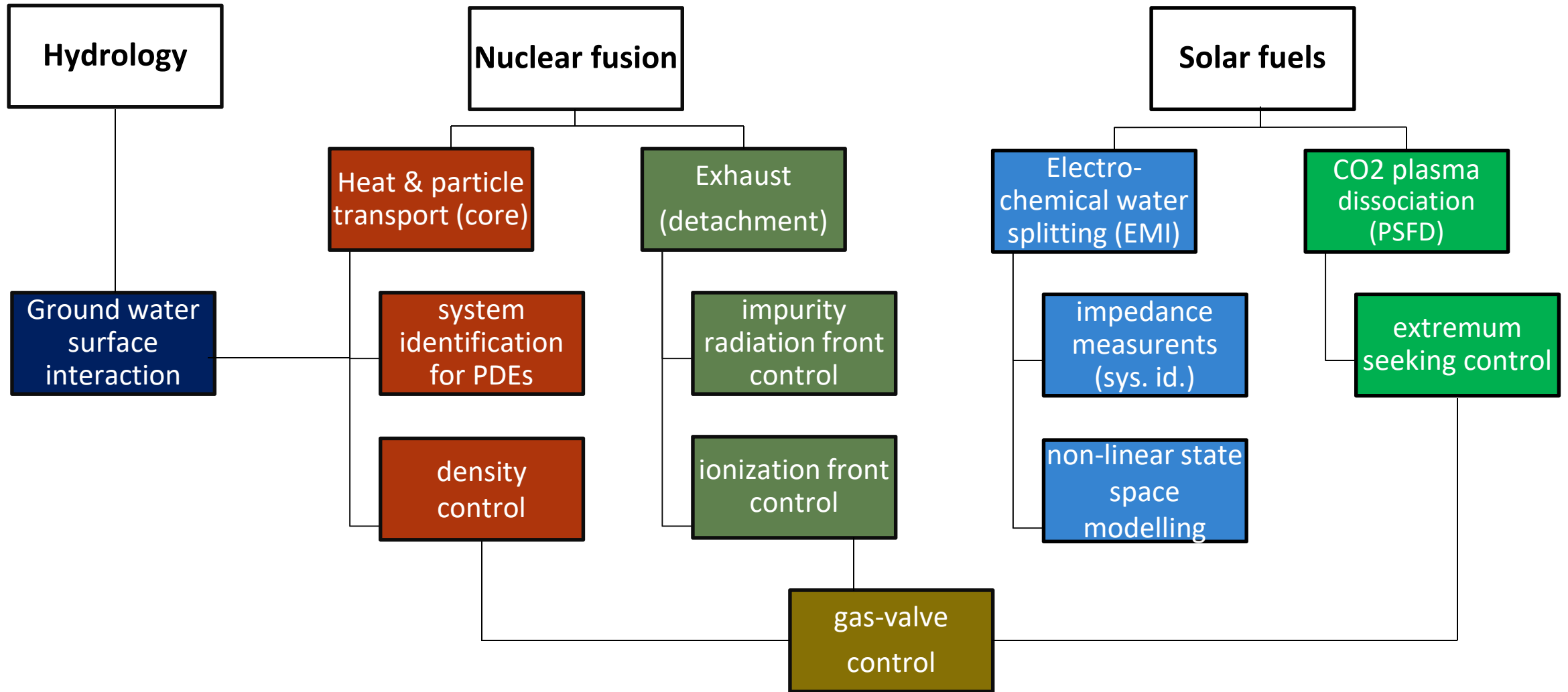
Regeltechniek van thermische systemen in kernfusie en
industrie: data-gedreven en model-gebaseerde
methodes

regeltechniek
systeem identificatie

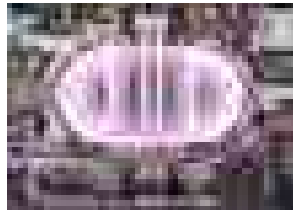
thermisch
natuurkunde

Matthijs van Berkel
namens
DIFFERen
TU Eindhoven

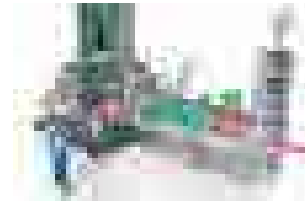
Overzicht systeem en regeltechniek onderzoek (Energy Systems & Control group @ DIFFER)



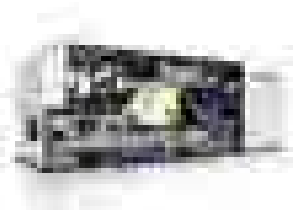
Modelleren en regelen cruciaal voor thermische systemen in hightech industrie en big science



Kernfusie-
reactoren
DIFFER



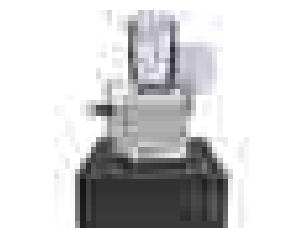
Zwaartekracht-
golfdetectie
Nikhef



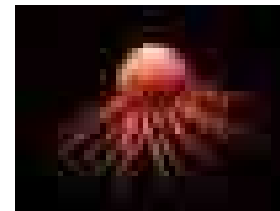
Chip-machine



2D/3D-printen



Elektronen-
Microscop

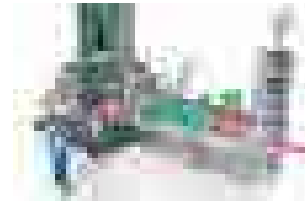


Kankercellen en
tumoren

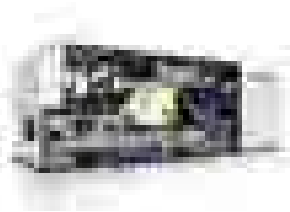
Verleggen technologische grenzen rekening houdend met thermische belastingen



efficiëntie



gevoeligheid



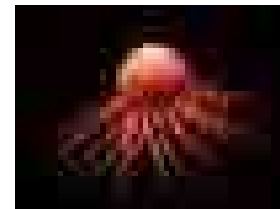
<< nanometer



sneller drogen en
printen



reductie kalibratie
tijd en precisie



nauwkeuriger lokaal
verwarmen

Gemeenschappelijk: dezelfde wiskundige beschrijvingen

Partieel differentiaal vergelijking (PDV) voor thermisch transport

kernfusie

$$\underbrace{\frac{\partial T}{\partial t}} = \frac{1}{\rho} \frac{\partial}{\partial \rho} \left(\underbrace{\rho D n \frac{\partial T}{\partial \rho}} + \underbrace{\rho V n T} \right) + \underbrace{KT} + \underbrace{Q(\rho, t)}$$

tijdsevolutie diffusie convectie demping verhitting
e.g. microgolven

lithografie

$$\underbrace{\rho c H \frac{\partial T}{\partial t}} = \underbrace{k H \left(\frac{\partial^2 T}{\partial x^2} + \frac{\partial^2 T}{\partial y^2} \right)} - \underbrace{h T} + \underbrace{Q_{exp}}$$

warmte-capaciteit conductie koeling verhitting
door licht

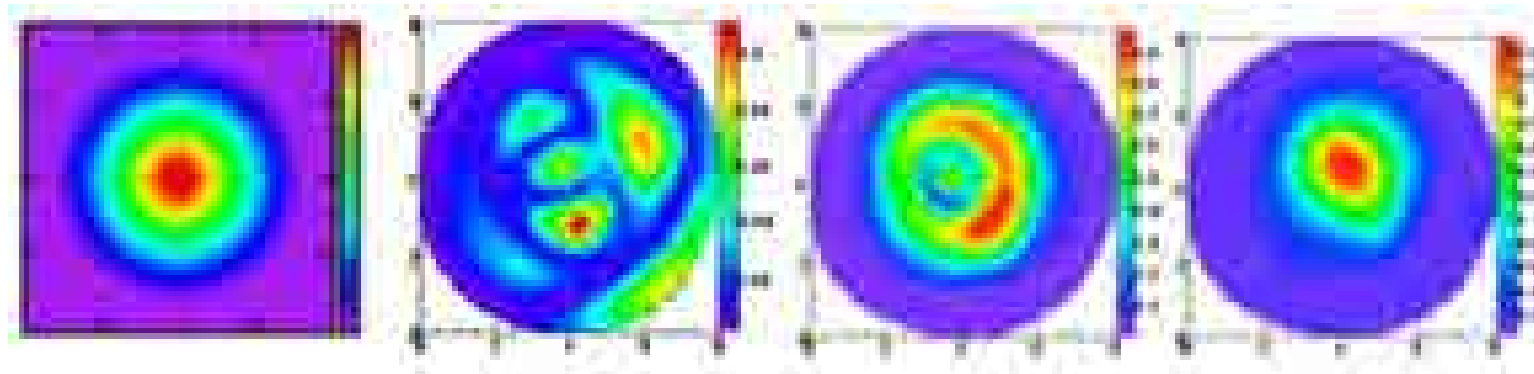
medisch (weefsel)

$$\rho c \frac{\partial T(r, t)}{\partial t} = \underbrace{k \nabla^2 T(r, t)} + \underbrace{w_b(r) c_b (T(r, t) - T_b)} + \underbrace{Q(r, t)}$$

conductie convectie (perfusie) verhitting (echo)

Detectie en correctie van laser wavefront in gravitatiegolfdetector (Einstein telescoop)

- verhoging van circulerend laser vermogen betere sensitiviteit
- verhoging van gedeponeerde hitte van de laser
- thermo-optische effecten en thermo-elastische deformatie
- wavefront distorsies die weggeregeld moeten worden



Toepassing regeltechnische modellen zal de prestaties en nauwkeurigheid verbeteren

Dynamische metingen cruciaal voor modelvorming

Totale temperatuur verdeling gevolg van combinatie van componenten

$$\frac{\partial T}{\partial t} = \frac{1}{\rho} \frac{\partial}{\partial \rho} \left(\underbrace{\rho D n \frac{\partial T}{\partial \rho}}_{\text{diffusie}} + \underbrace{\rho V n T}_{\text{convectie}} \right) + \underbrace{KT}_{\text{demping}} + \underbrace{Q(\rho, t)}_{\text{verhitting}}$$

tj; **statisch** \Rightarrow diffusie convectie demping verhitting
e.g. microgolven

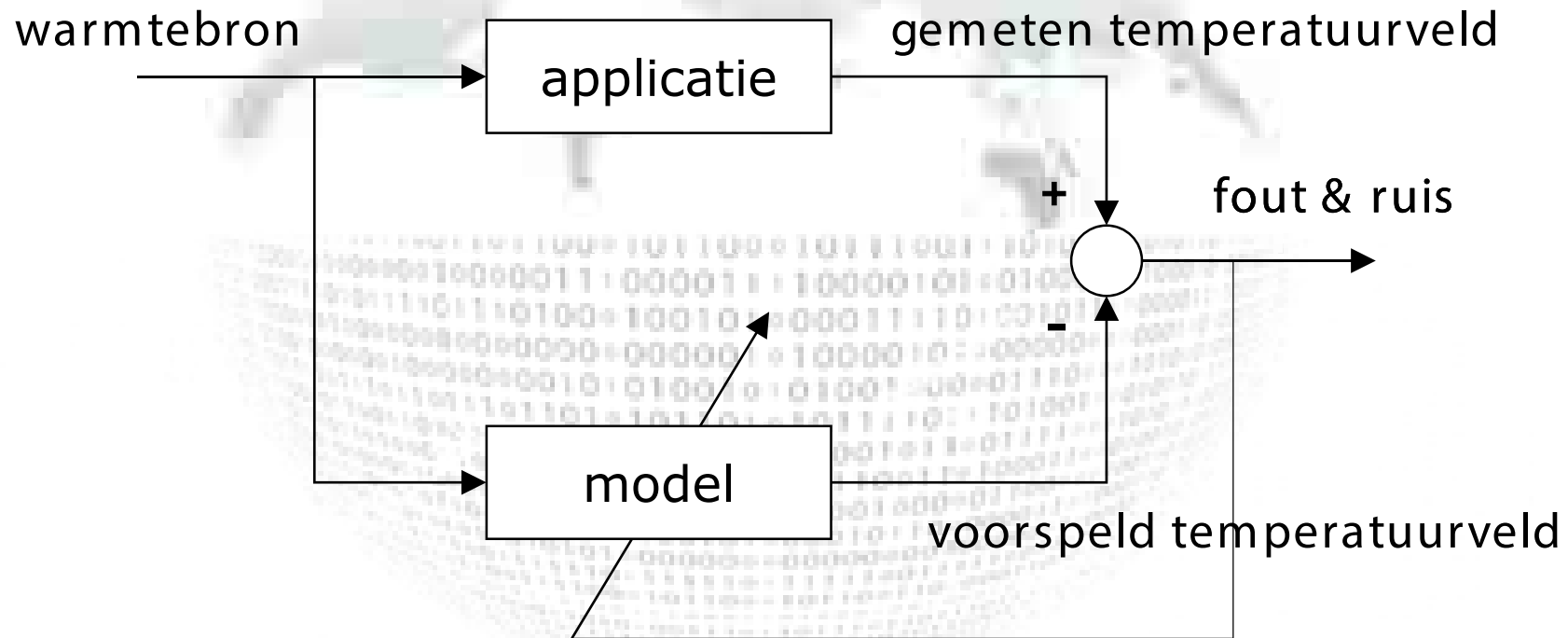
Individuele processen acteren op verschillende tijdsschalen

Conclusie:

- (slimme) variatie in tijd identificatie van componenten
- regeltechniek gebaseerd op dynamische verandering van het systeem
- dynamische metingen beste karakterisatie van complexe systemen

80% modellen in regeltechniek: meetdata(-gestuurd)

Identificatie van model (open-lus)



Highlights:

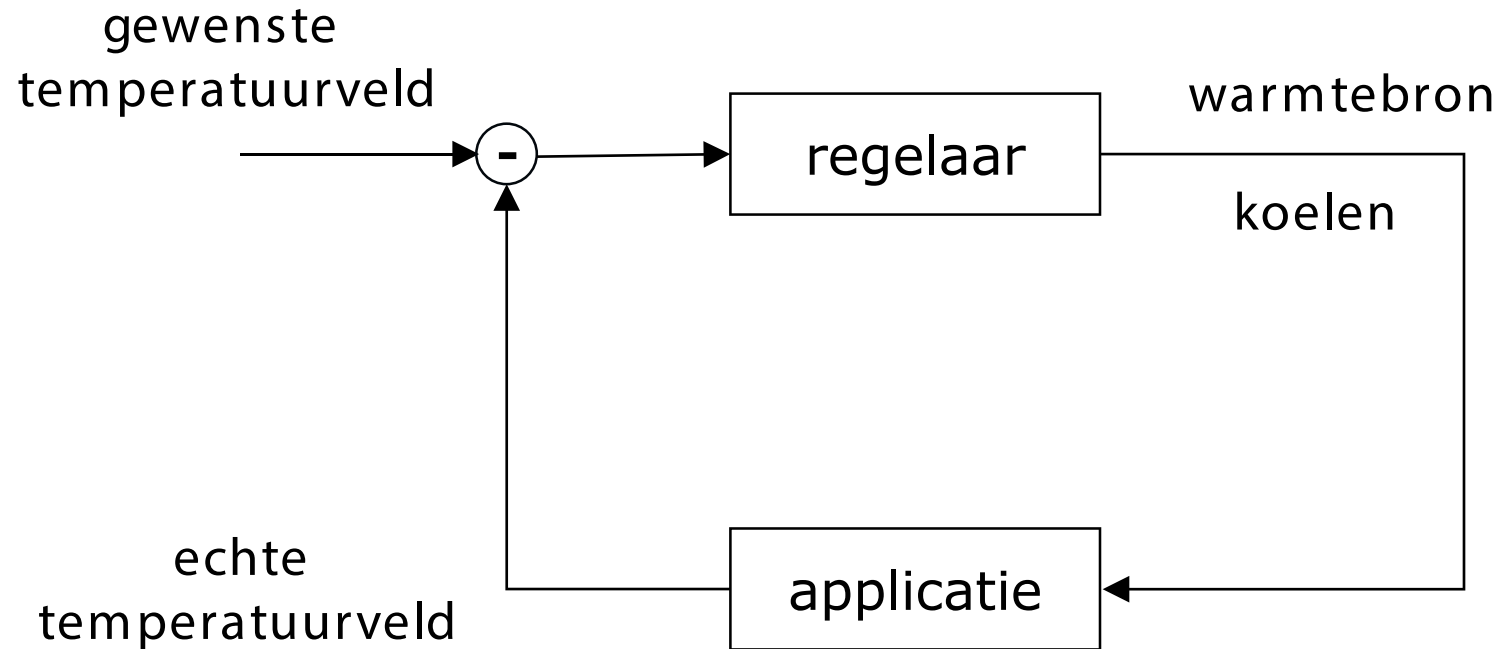
Ravensbergen, van Berkel et al. *Nature Comm.* 12 (1105) 2021 (DIFFER, EPFL, TU/e)

van Berkel, Vandersteen et al. *Automatica* 50 (8) 2014 (DIFFER, VUB, TU/e)

van Berkel, Kobayashi et al. *Nuclear Fusion* 58 (9) 2018 (DIFFER, NIFS)

Schneidewind, van Berkel et al. *Water Resources Research* 52 (8), 2016 (RWTH, DIFFER)

Principe van regeltechniek (gesloten-lus)



Modelvorming voor regeltechniek (soms) complexer

Modelvorming voor thermische systemen cruciaal

grondbegrippen

white-box
(first-principles)

- finite element
- finite difference (ANSYS, COMSOL)
- model reductie
- regel modellen

hybride

grey-box

Energy Systems & Control
group DIFFER

- PDE estimation
- large-scale finite dimensional descriptions
- optimale sensor plaatsing
- maximum-likelihood
- Bayesian
- experimenteel ontwerp

data-driven

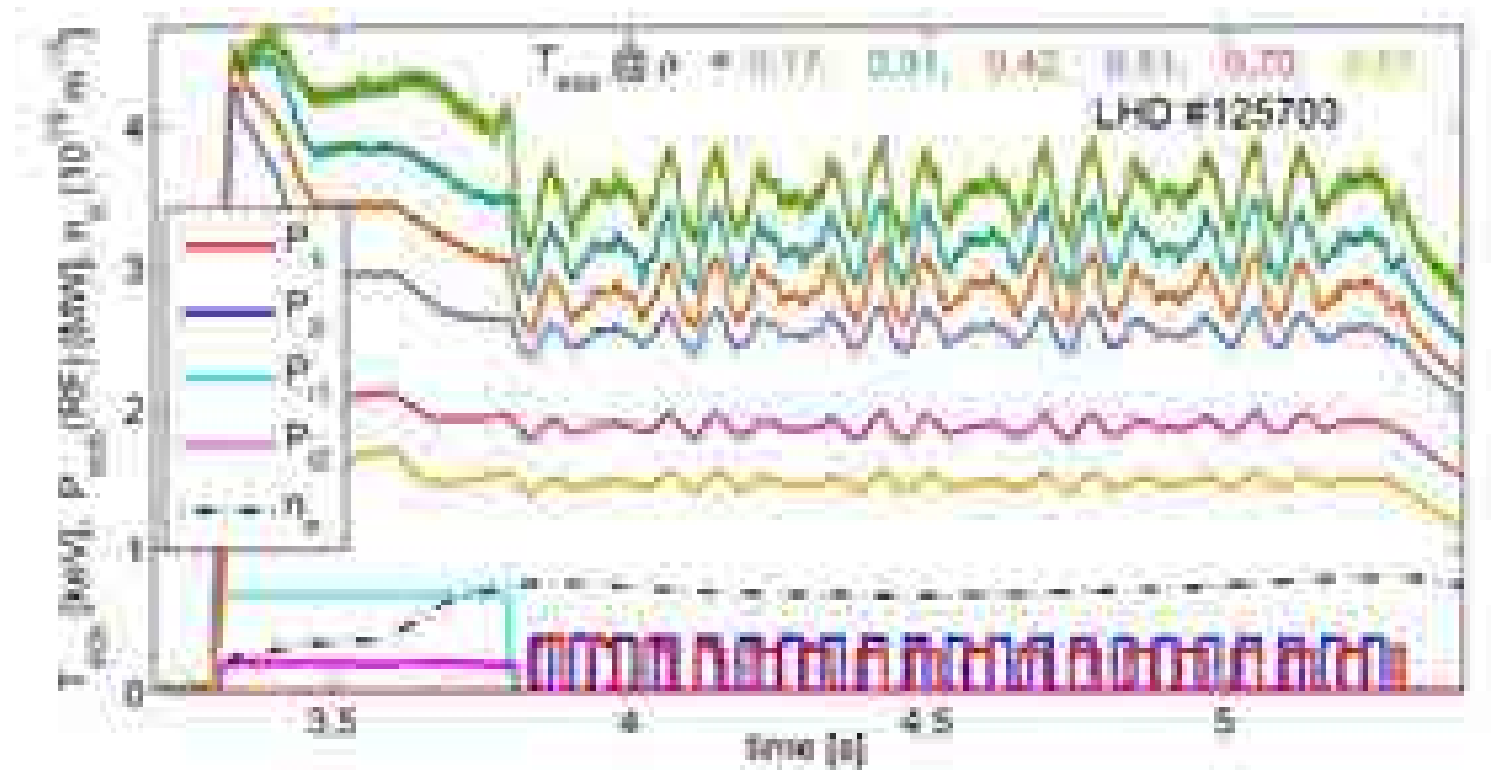
black-box

Control Systems
(Technology) ME/EE (TU/e)

- state-space estimation
- frequency response functions
- machine learning
- local parametric models (transients)

Voorbeelden

Voorbeeld: hoe bepalen accurate thermische modellen (grey-box)



$$\underbrace{\frac{\partial T}{\partial t}}_{\text{tijdsevolutie}} = \frac{1}{\rho} \frac{\partial}{\partial \rho} \left(\underbrace{\rho D n \frac{\partial T}{\partial \rho}}_{\text{diffusie}} + \underbrace{\rho V n T}_{\text{convectie}} \right) + \underbrace{KT}_{\text{demping}} + \underbrace{Q(\rho, t)}_{\text{verhitting e.g. microgolven}}$$

tijdsevolutie

diffusie

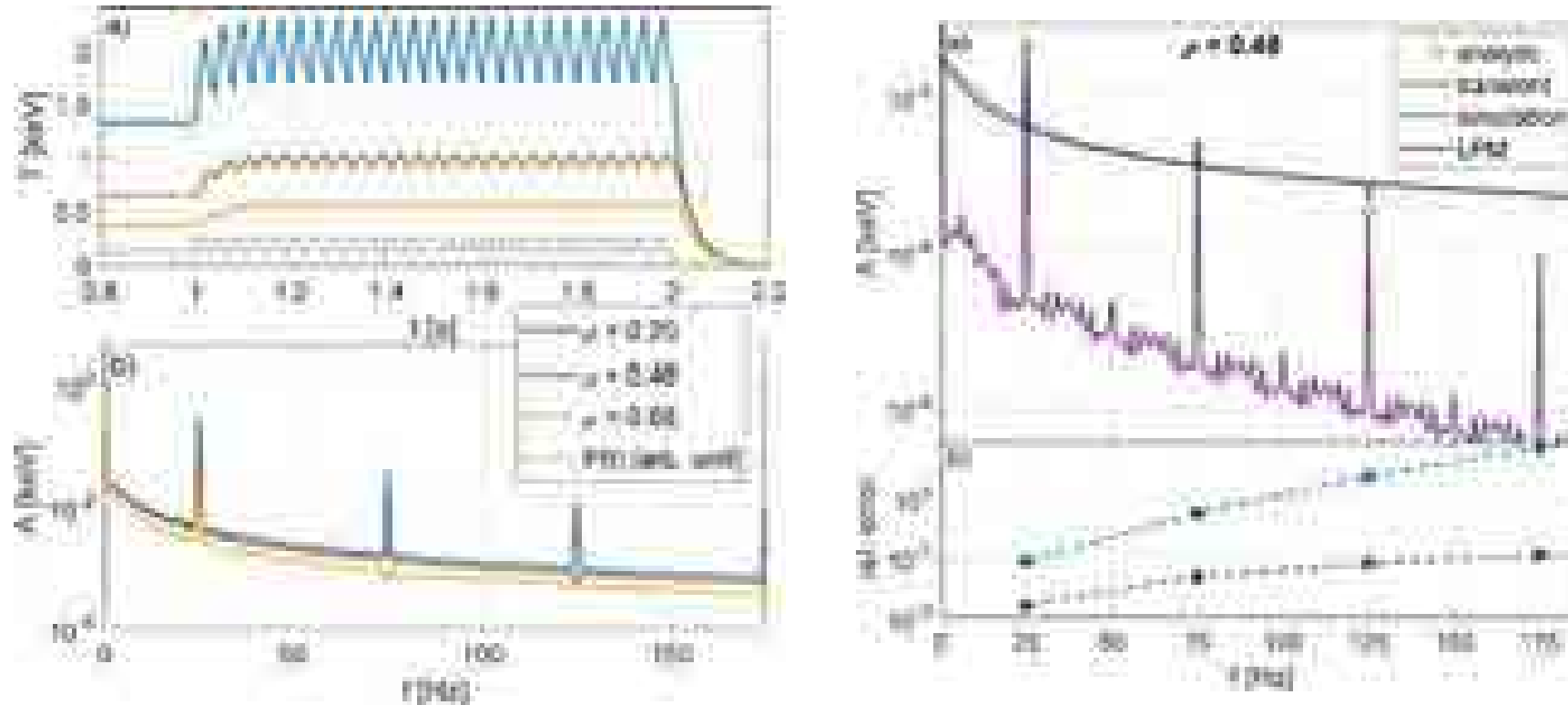
convectie

demping

verhitting
e.g. microgolven

Voorbeeld gemeenschappelijk probleem: transiënten

Versnellen van modelvorming: local parametric methods



Kernfusie: van Berkel, Kobayashi et al. *Nuclear Fusion* 57 (12), 2018

Lithografie/FEM: Evers, de Jager et al. proceedings of 18th IFAC Symposium on System Identification, Sweden, 2018

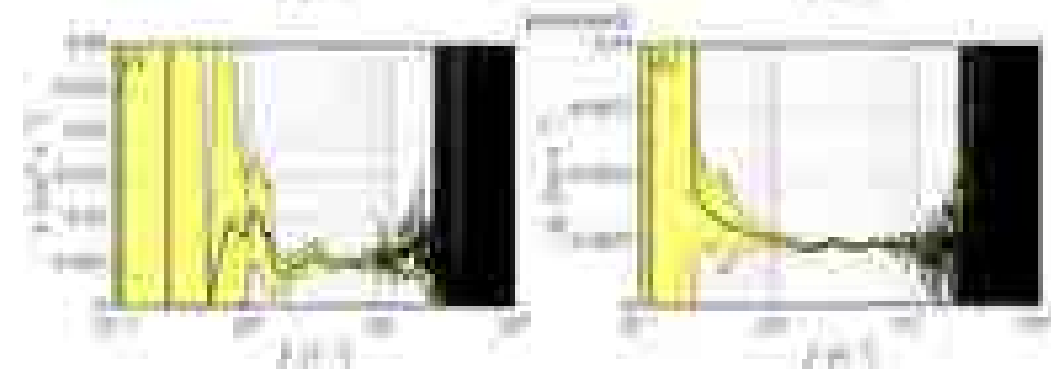
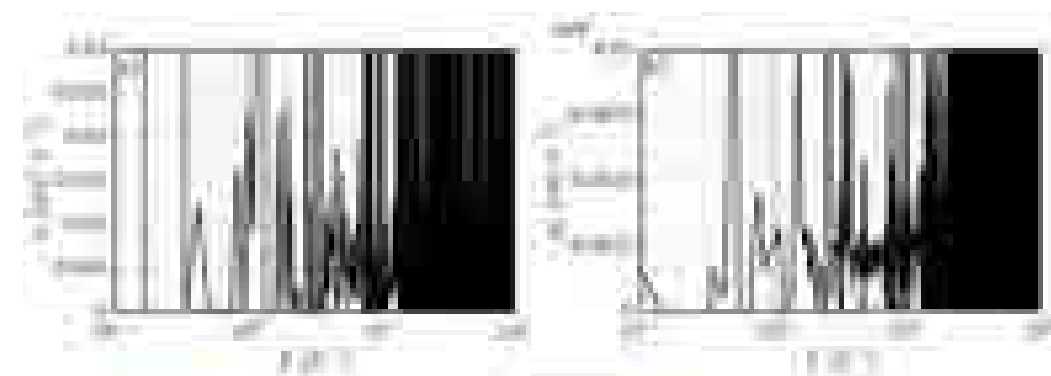
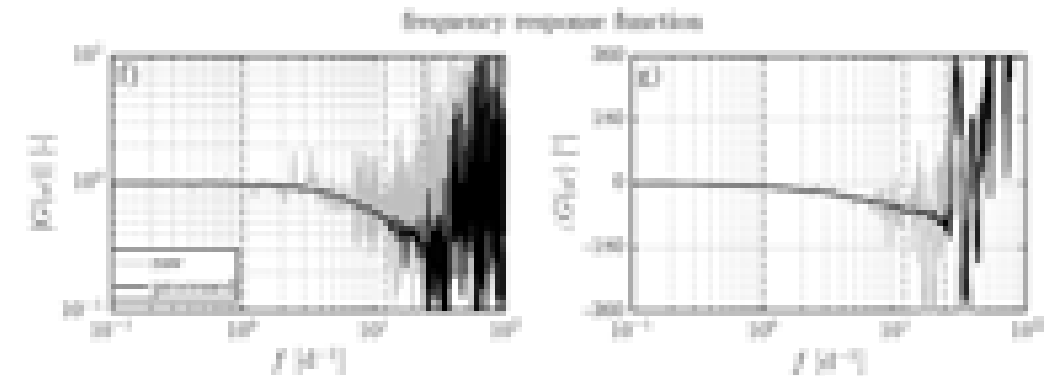
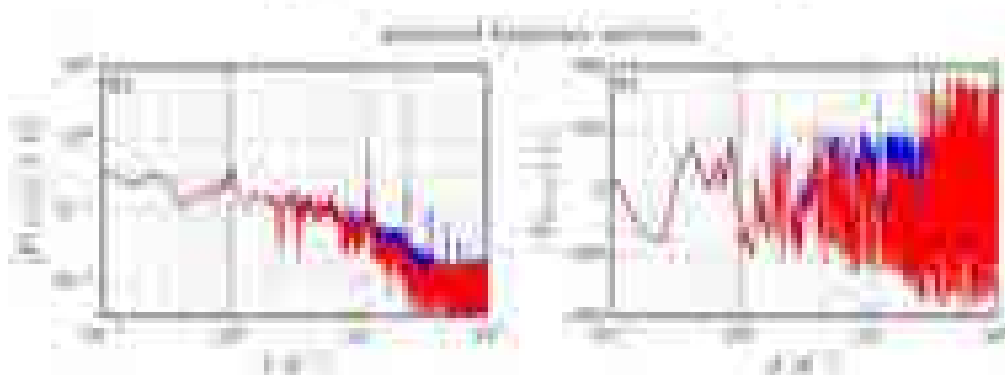
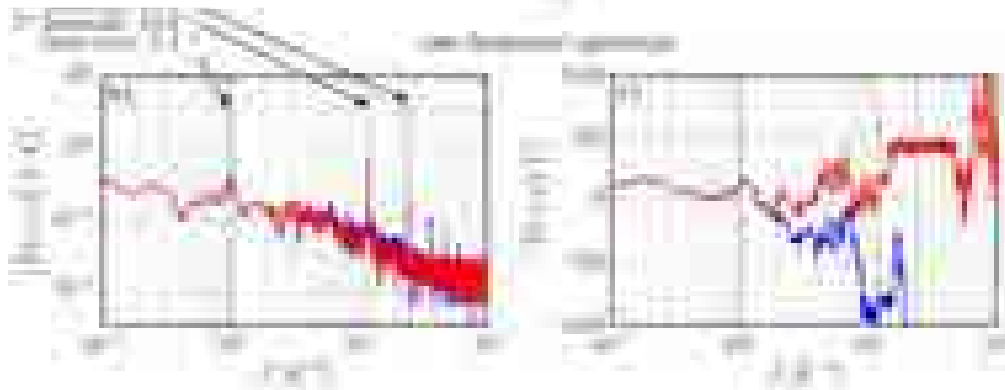
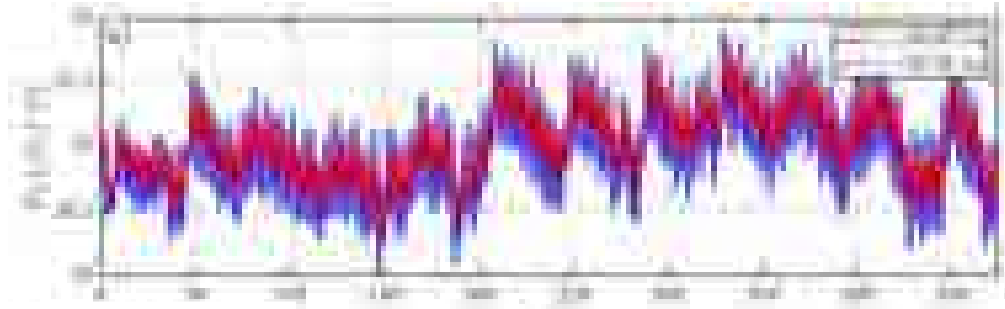
Hydrologie: Schneidewind, van Berkel et al. *Water Resources Research* 52 (8), 2016

Hydrologie

Bepalen van transport coefficienten in oppervlakte-grondwater interactie



Hydrologie



Dichtheid 's (profiel) regeling in een fusie reactor

- Partieel differentiaal vergelijking (PDV) voor deeltjes transport:

$$\underbrace{\frac{\partial}{\partial t} \left(n_e \frac{\partial V}{\partial \rho} \right)}_{\text{tijdsevolutie}} = \frac{\partial}{\partial \rho} \left[\frac{\partial V}{\partial \rho} \left(\underbrace{\langle (\nabla \rho)^2 \rangle \chi \frac{\partial n_e}{\partial \rho}}_{\text{diffusie}} - \underbrace{\langle |\nabla \rho| \rangle v n_e}_{\text{convectie}} \right) \right] + \underbrace{\left(\frac{\partial V}{\partial \rho} \right) S_e}_{\text{bron}}$$

- Regelbare bronnen: Gas injectie → continue bron | Pellet injectie → discrete bron
- Van PDV naar gewone differentiaal vergelijking voor regelaar ontwerp

$$n_e(\rho, t) = \sum_{\alpha=1}^m \Lambda_{\alpha}(\rho) b_{\alpha}(t)$$

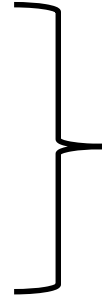
- Spatiele discretisatie met basis functies
- Tijds discretisatie

→ Niet lineaire state-space

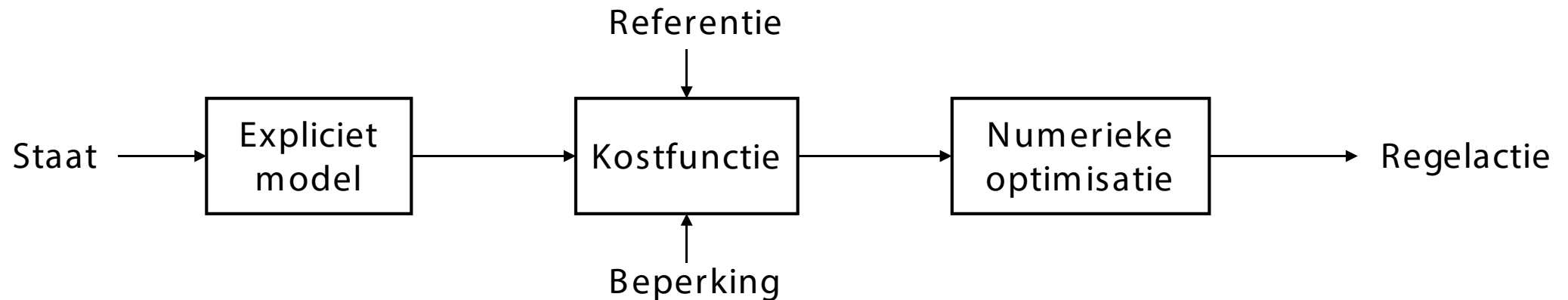
$$x_k = f(x_{k-1}, u_{k-1})$$

Ontwerp voor een dichtheid's profiel (functie) regelaar in een kernfusie reactor

- Regeling van PDV
 - Meerdere bronnen
 - Meerdere metingen
- Dichtheid's limiten



Robust Model Predictive Controller

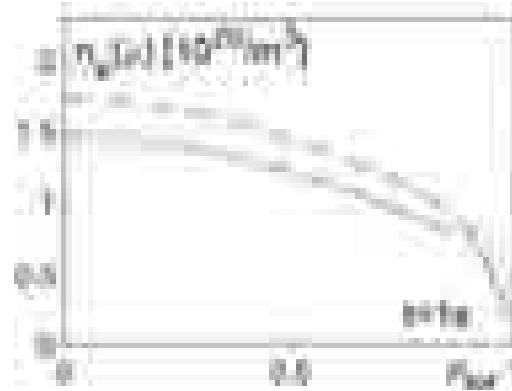


Ontwerp voor een dichtheid's profiel (functie) regelaar in een kernfusie reactor: resultaten en uitdagingen

- Resultaten met continue regelbronnen

→ Goed regelbaar

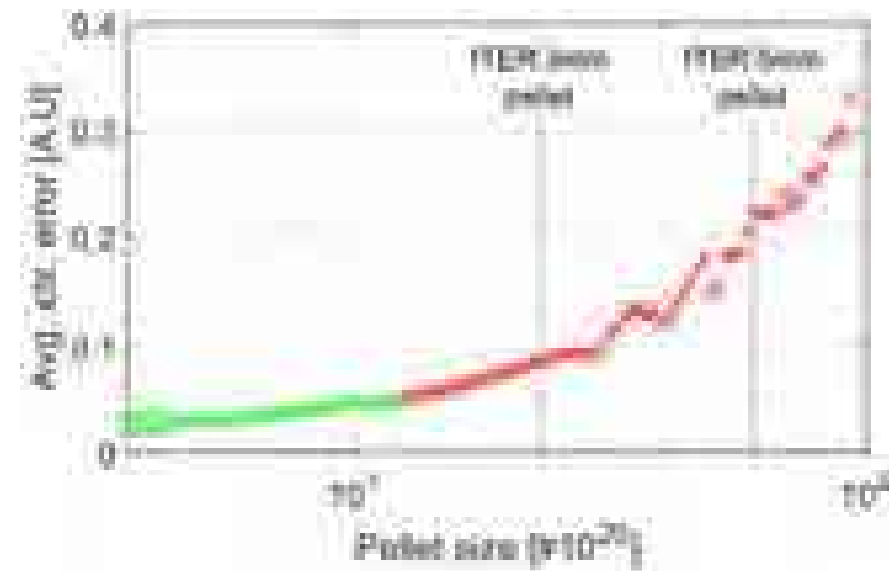
- - open lus -.- gesloten lus ··· referentie



- Resultaten met discrete regelbronnen

- Discrete bron dynamica is limiterend
- Regeltechniek strategie die discrete dynamica meenemen zijn noodzakelijk

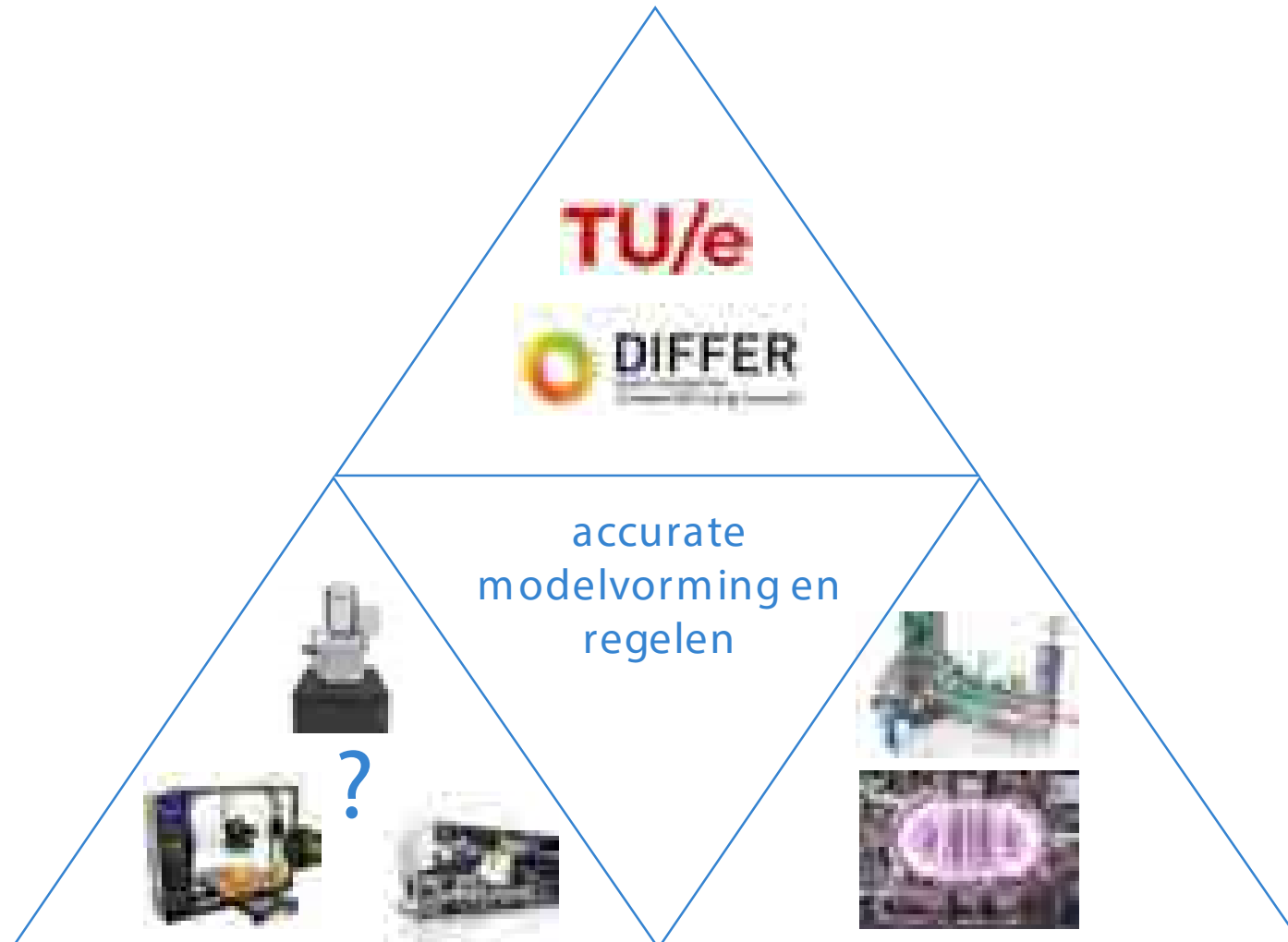
→ Voor regeling van PDV met discrete bronnen bestaat de theorie nog niet!



Uitdagingen thermisch transport

- plasma-gas-vloeistof-vast interfaces
- gekoppeld transport: thermo-mechanisch deeltjes – thermische koppeling
- snel meten (kalibreren) en regelen
- sensoren plaatsing
- regelen met limitatie op verwarmen/koelen
- regelen van distributies (large-scale)
- niet-lineair gedrag
- discrete ingangen

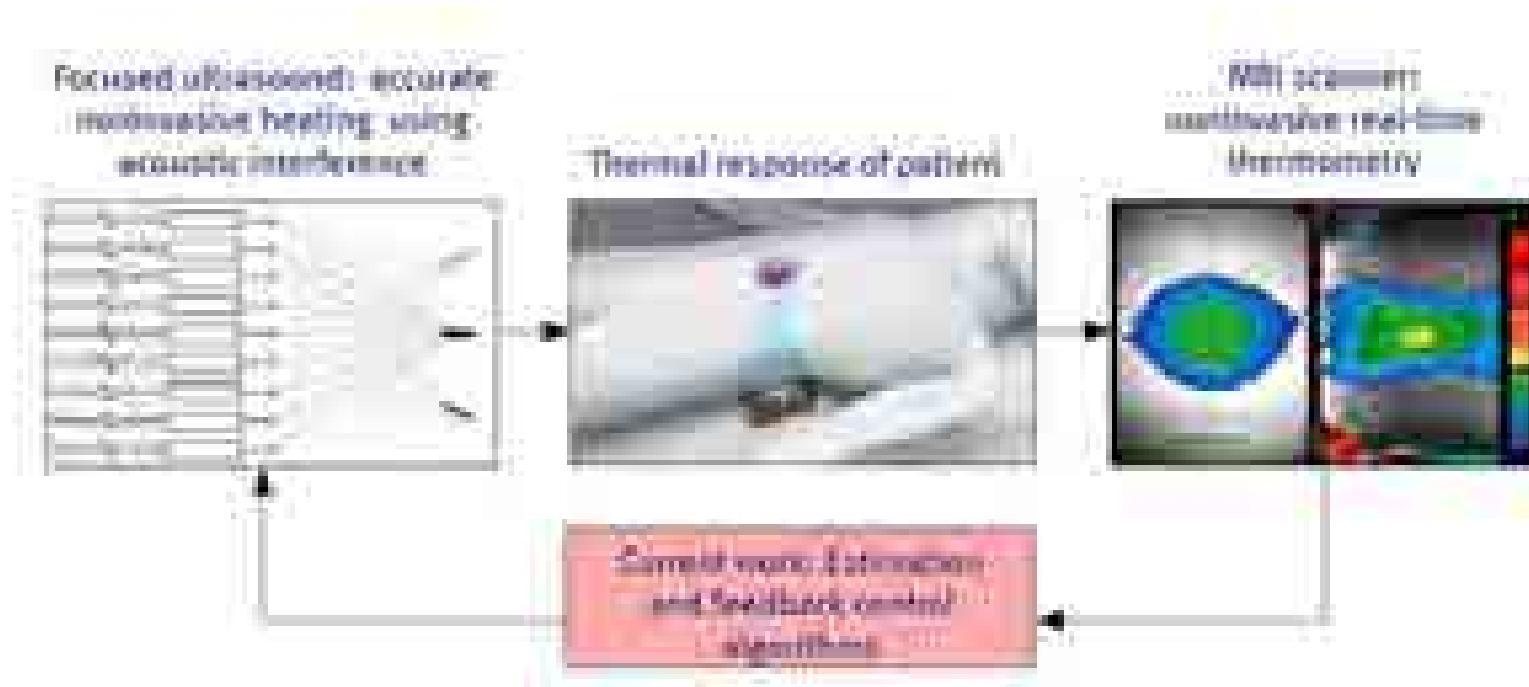
Gemeenschappelijke uitdagingen voor industrie en big science



EXTRA SLIDES

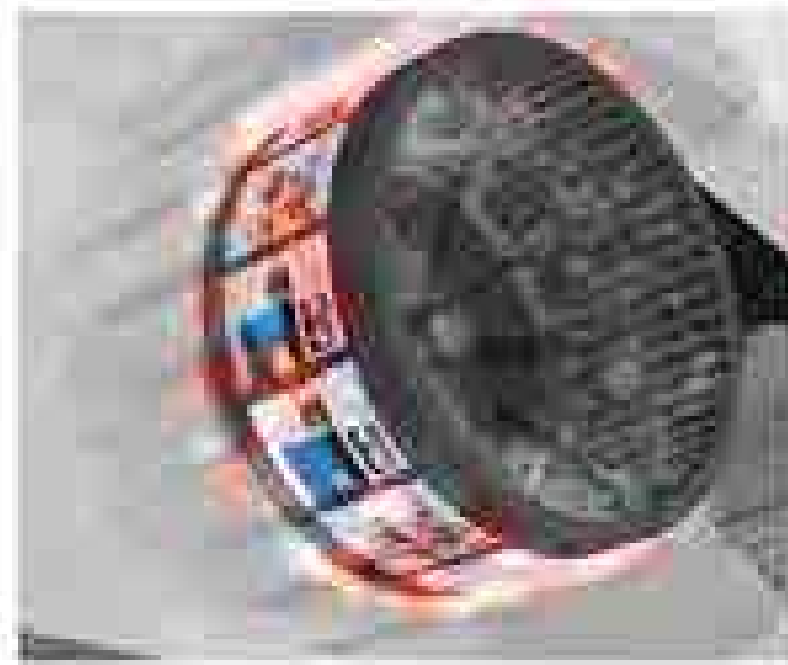
Hyperthermie (introductie)

- Heating the tumor to 43 degrees Celsius
- Enhances treatment efficiency of chemo- and radiotherapy
- Treatment outcome related to achieved temperatures
 - Requires accurate 3D temperature control



Courtesy: Offset-free model predictive control for enhancing MR-HIFU hyperthermia in cancer treatment, Deenen, Maljaars et al., (submitted)

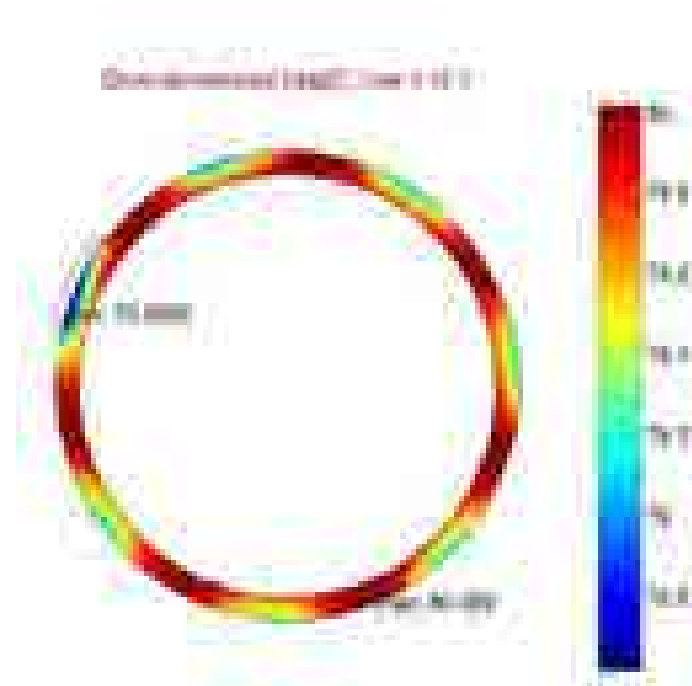
Printen



Drying Unit:

How to achieve desired level of **moisture** on the media and **uniform temperature distribution** on the dryer?

Printen



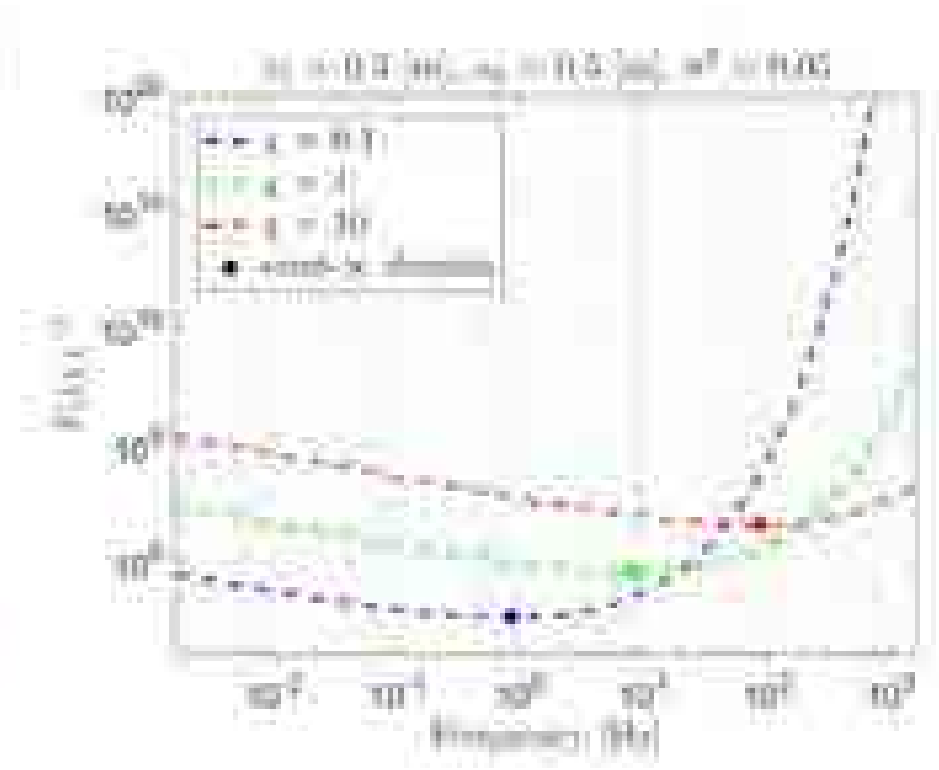
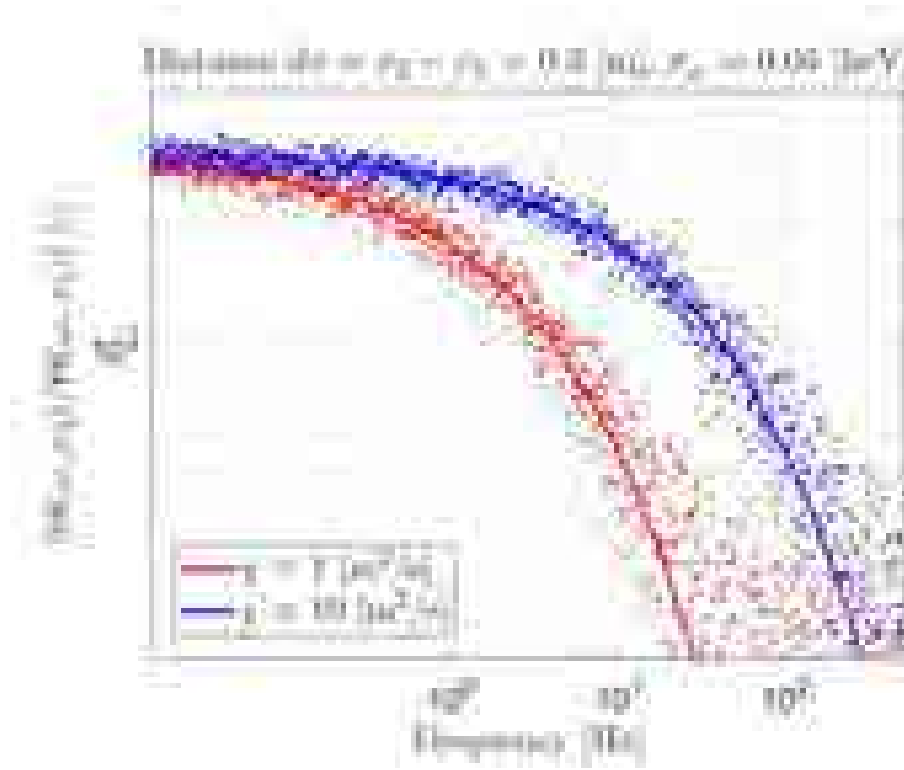
Key Aspects:

- Temperature gradient in the support due to moisture evaporation.

What can we do?

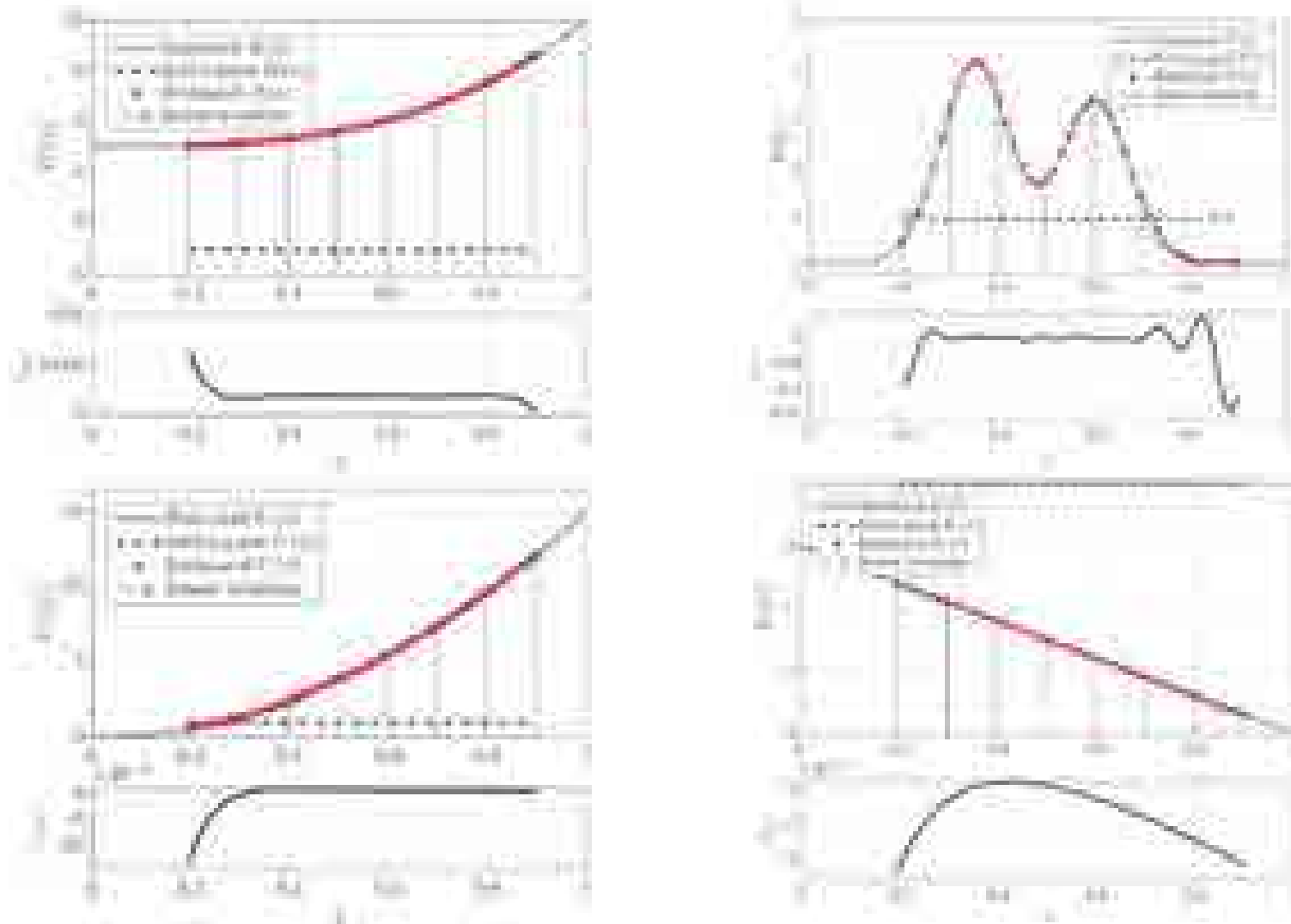
- Achieve desired temperature and moisture distribution in each product.
- Keep uniform temperature in the support.

Warmtebron modulatie



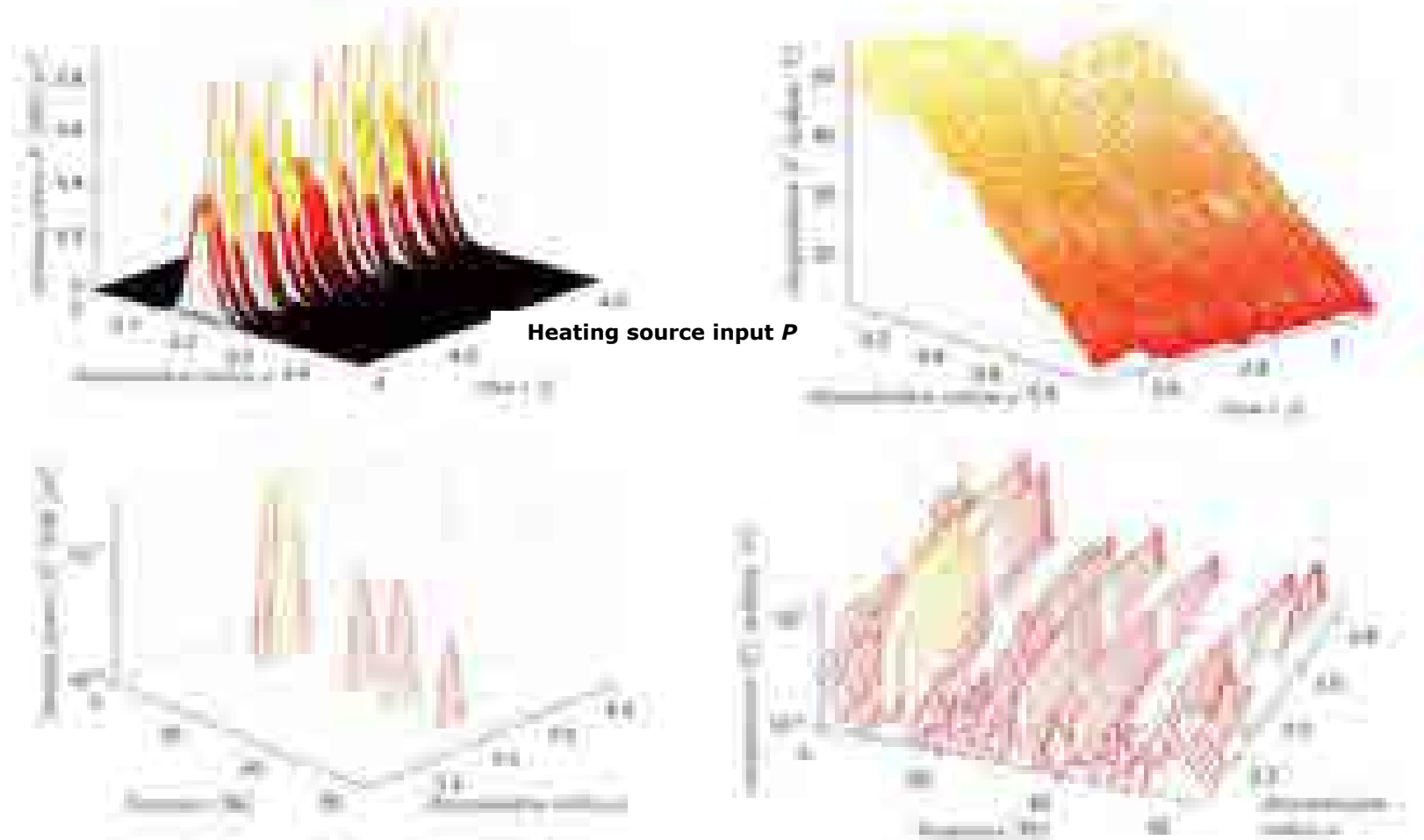
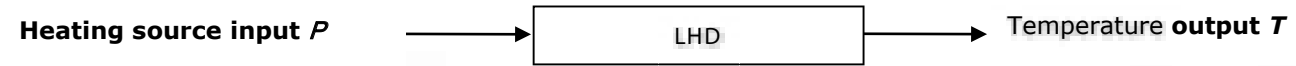
van Berkel, de Cock et al. *Physics of Plasmas*, 2018 (DIFFER-VUB), van Berkel, Weiland, *IEEE Conference on Dec*

Schatten transport coefficients

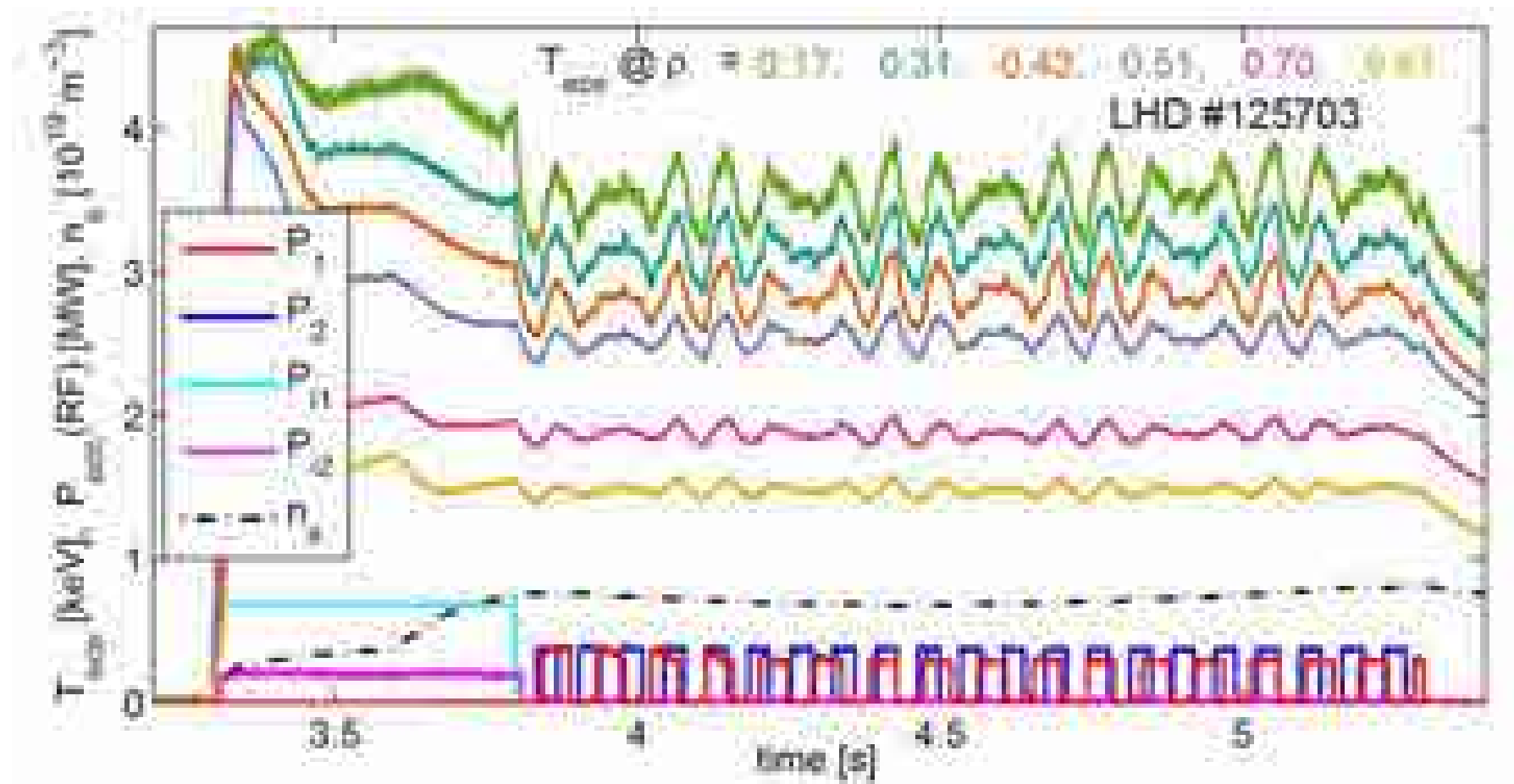


Das, Weiland, van Berkel, Frequency Domain Estimation of Spatially Varying Parameters in Heat and Mass Transport, (accepted) American Control Conference, 2019 *on Dec*

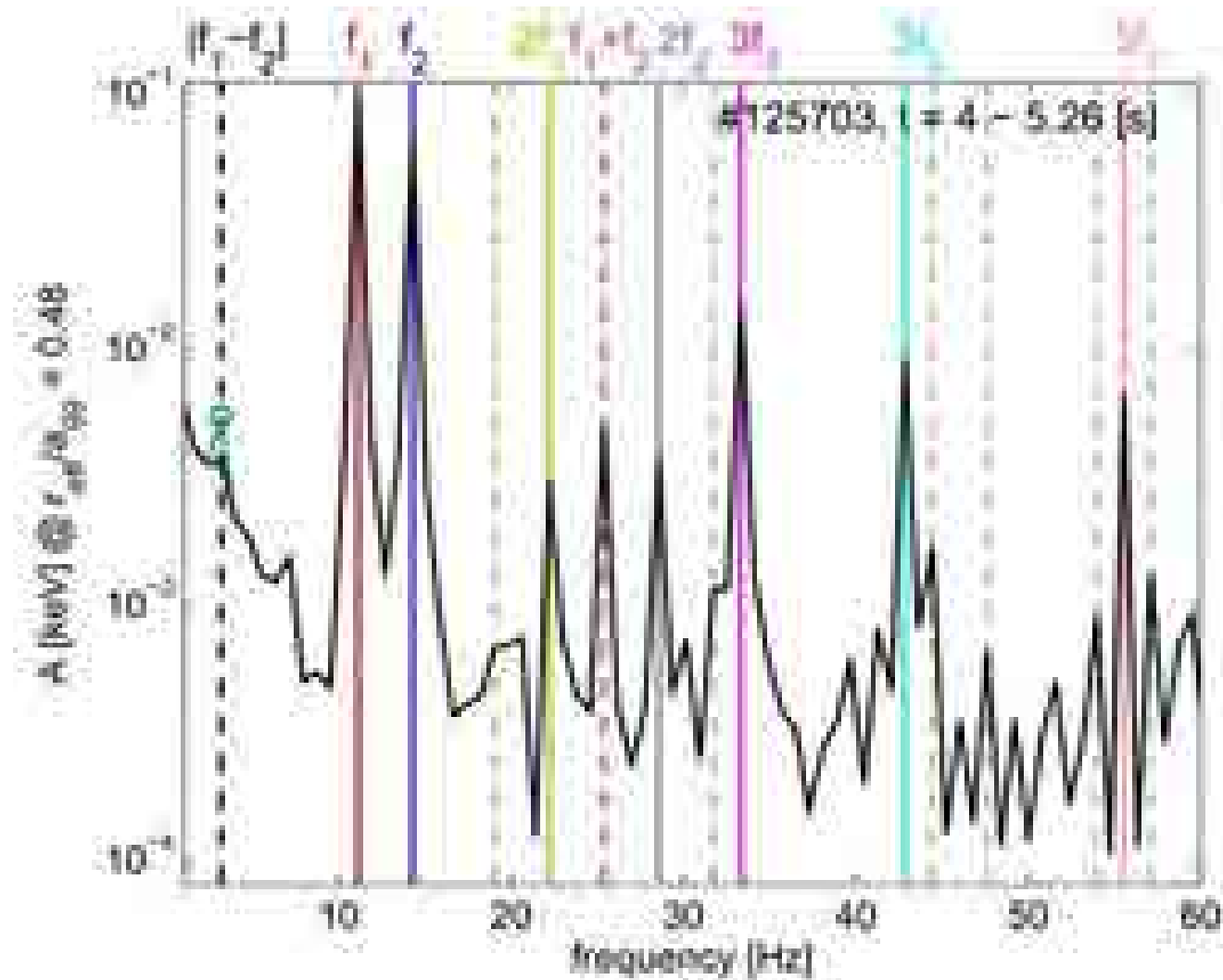
Figuur 2



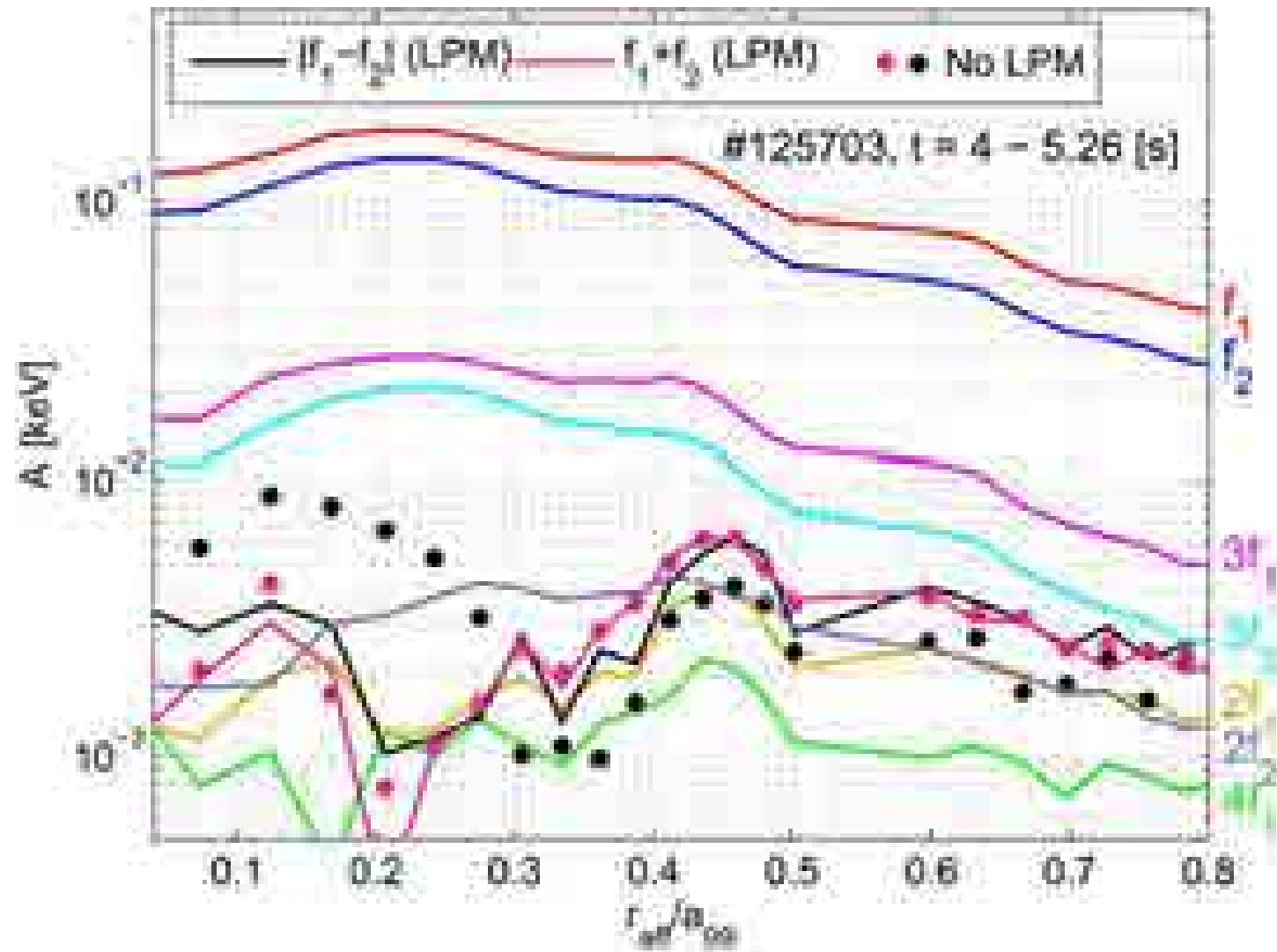
LHD experiment



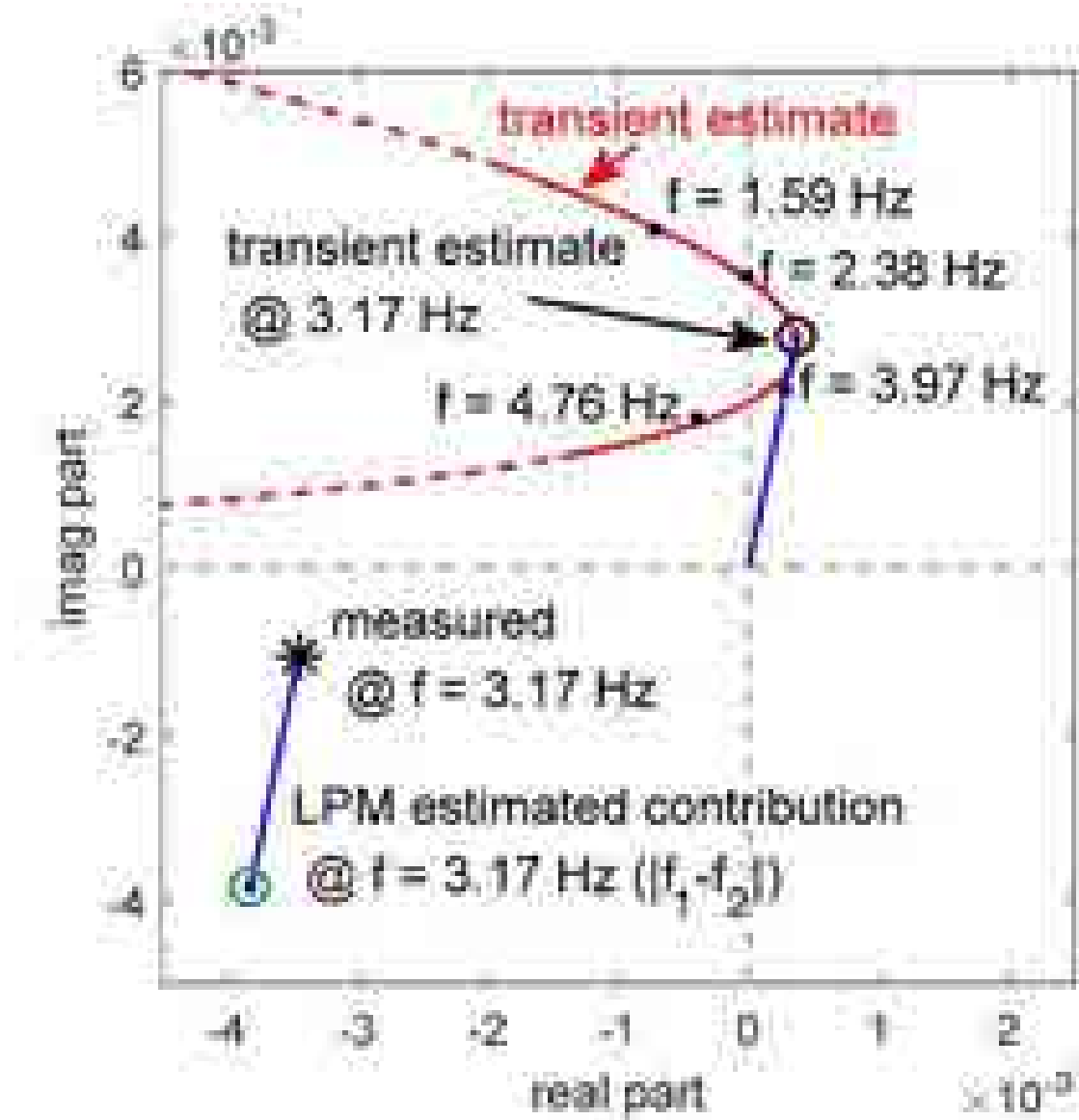
Nieuwe harmonische componenten



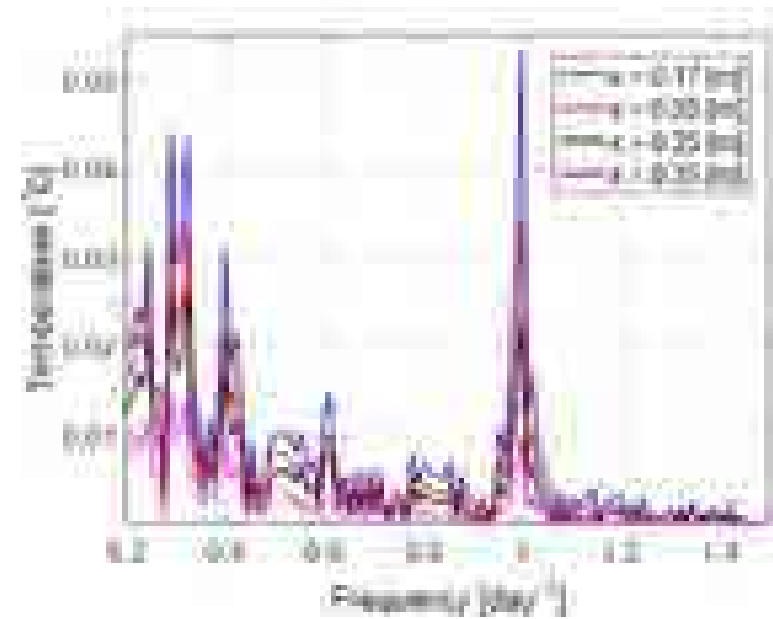
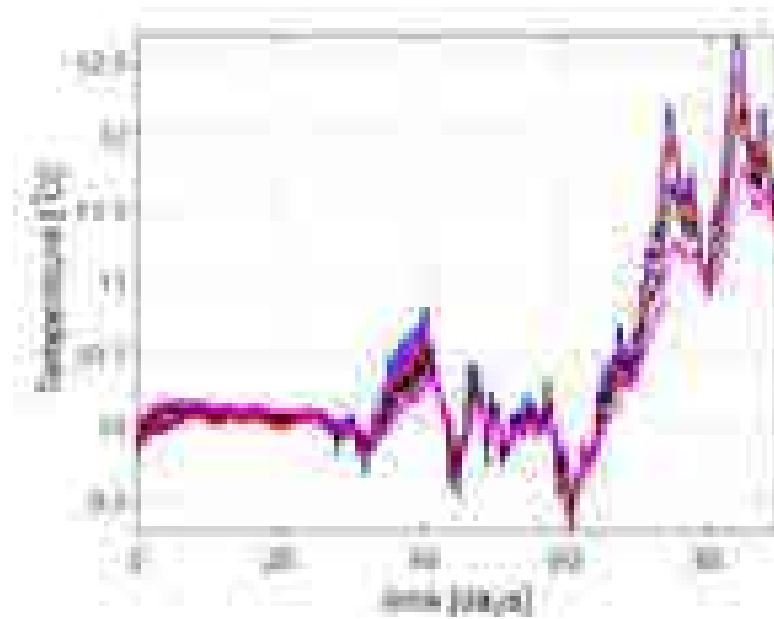
Nieuwe harmonische componenten (distributie)



Local parametric techniques



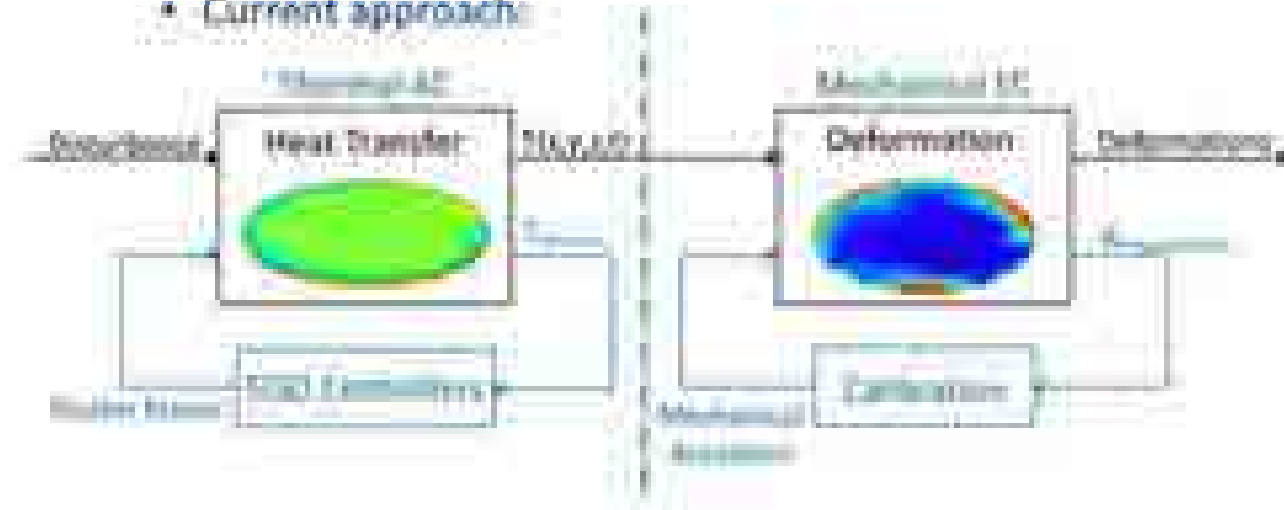
Hydrologie bepalen verticale water flux



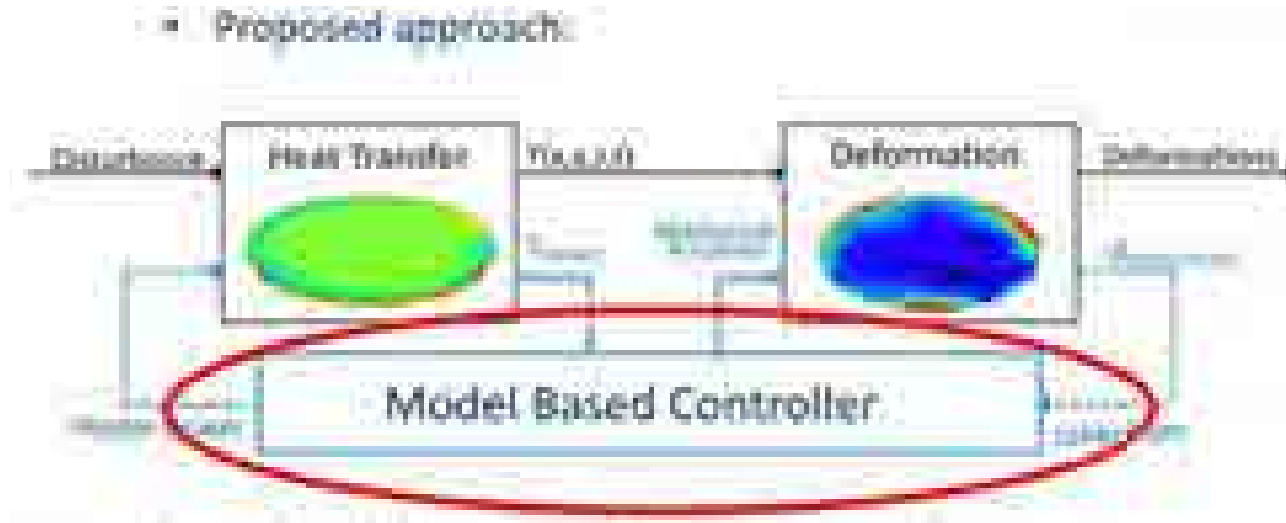
Schneidewind, van Berkel et al. *Water Resources Research* 52 (8), 2016 (RWTH-DIFFER)

Regeltechniek van mechanische waferdeformaties a.g.v. thermische belasting

- Current approach:



- Proposed approach:



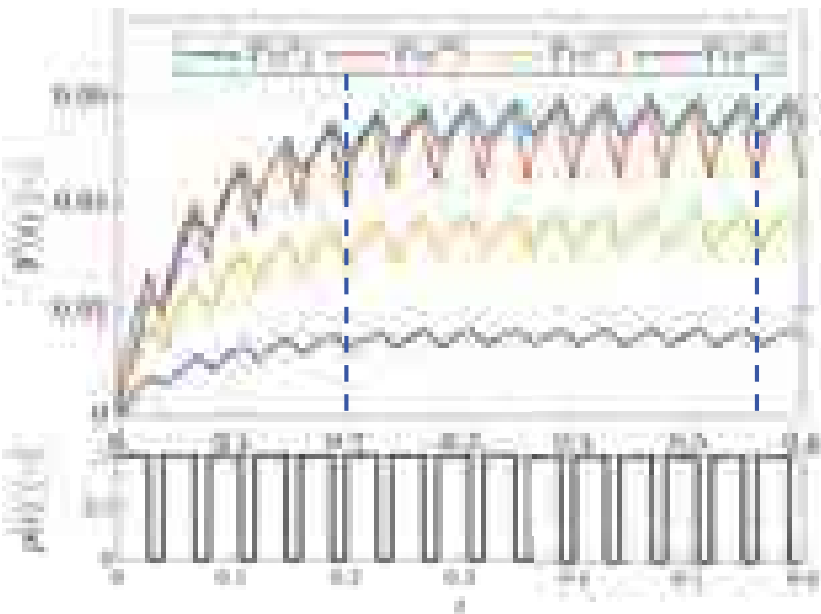


THE END



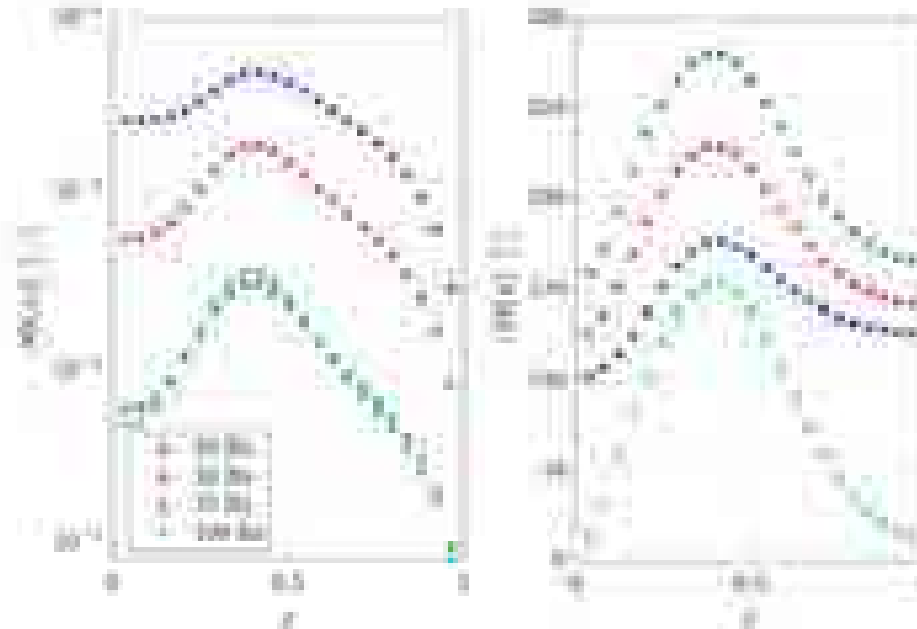
B. Perturbative transport experiments: are used to determine and analyze heat and mass transport

time domain

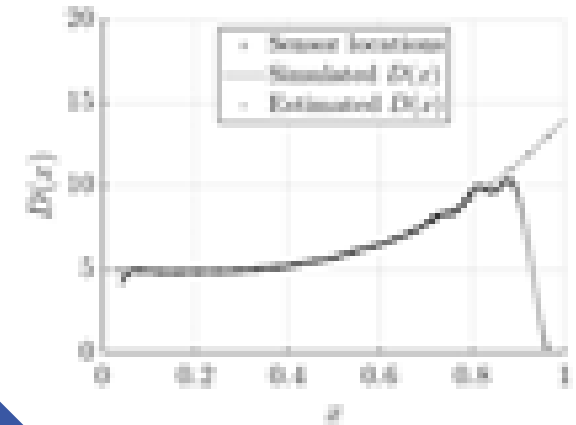


Temperature as function of
time and space

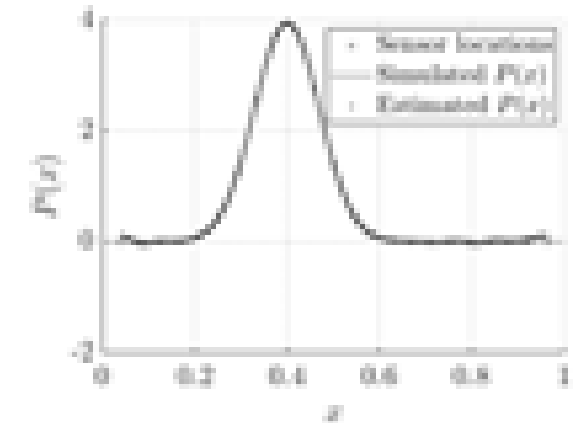
frequency domain



Temperature as function of
frequency (bins) and space



Estimate diffusion



Estimate
source domain ^{36/25}



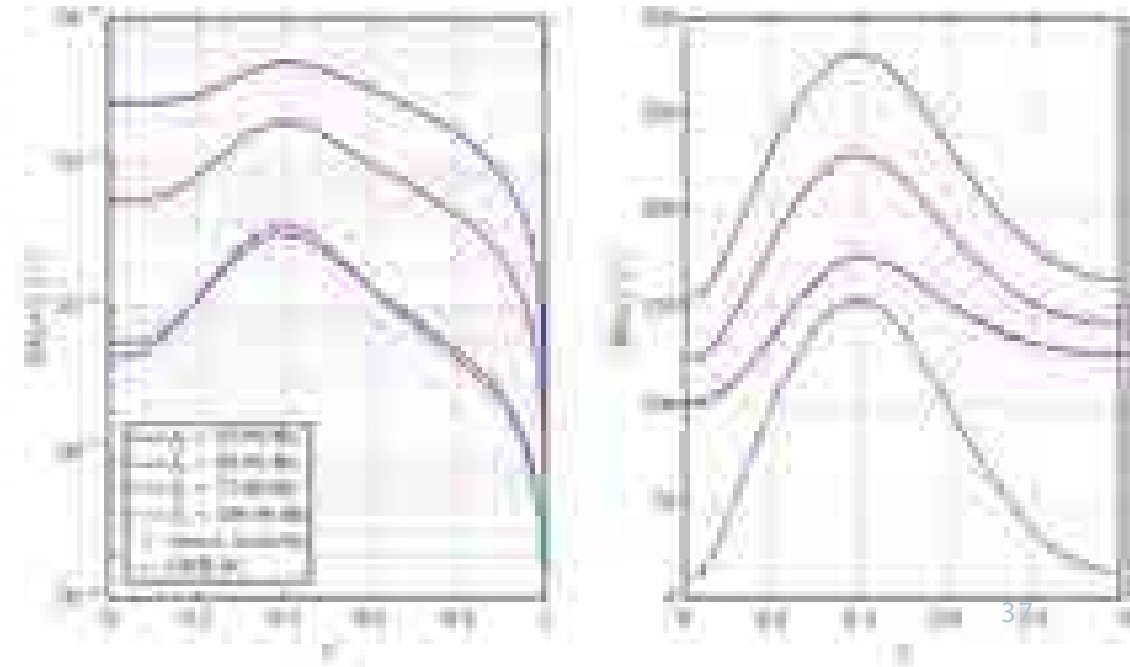
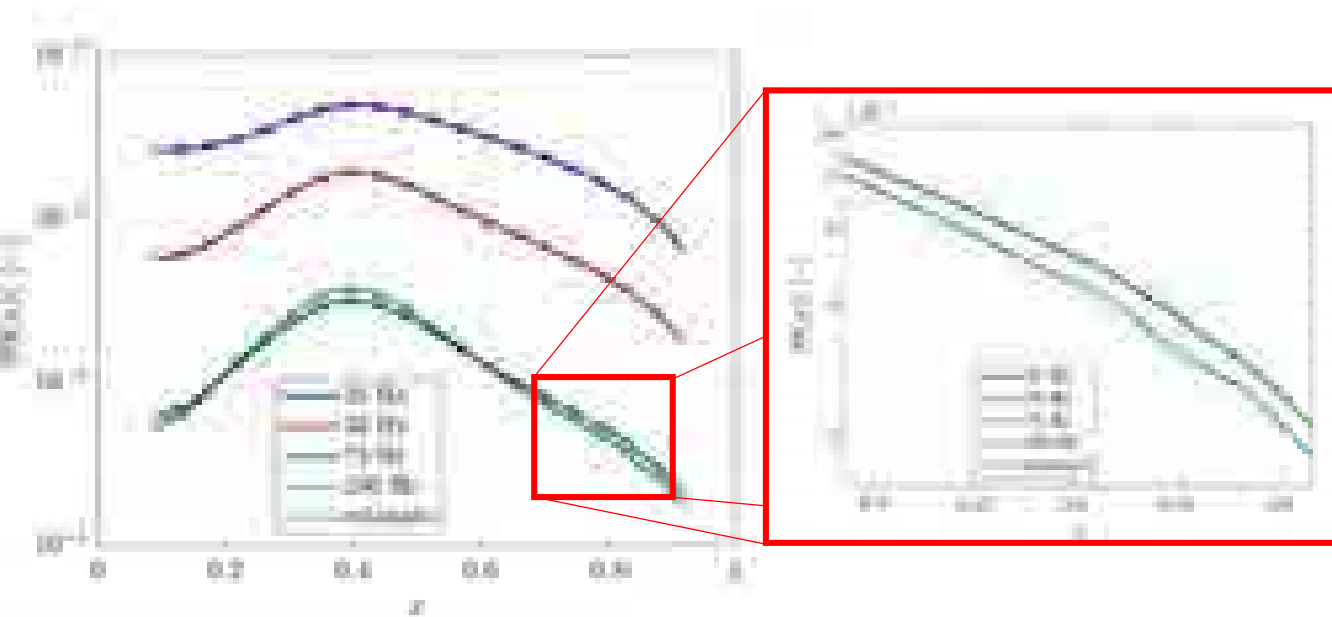
B. Example: Temperature fitting in frequency domain using machine learning tools (CGPR)

Problem: multiple solutions through the same measurements points

- No knowledge about profiles for diffusion and convection
- Multiple solutions for temperature results in multiple results for diffusion and convection
- Knowledge about temperature profile smoothness

Solution: to constrain using complex gaussian process regression

- Smoothness of temperature $\theta(x)$ can be imposed in CGPR
- Only single solution with the best approximation in between measurements
- Results in unique profiles for diffusion and convection



Section A

Physics analysis

Two main projects (side -projects)

A. Detachment control (control of the heat-exhaust)

B. Perturbative transport analysis (system identification)

- A number of side projects: SPARC, density control, start-up control

Details:

<https://www.differ.nl/research/energy-systems-and-control/research>

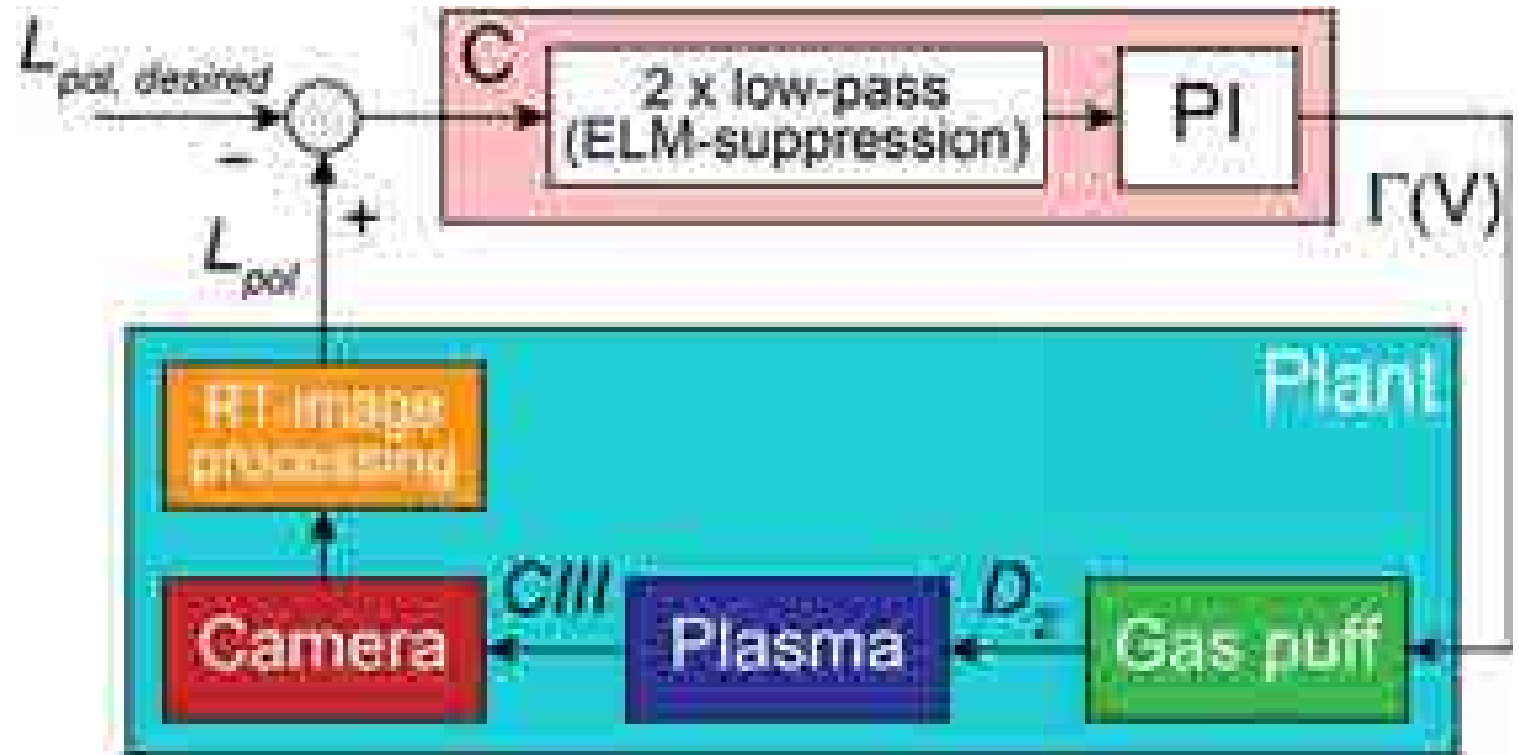
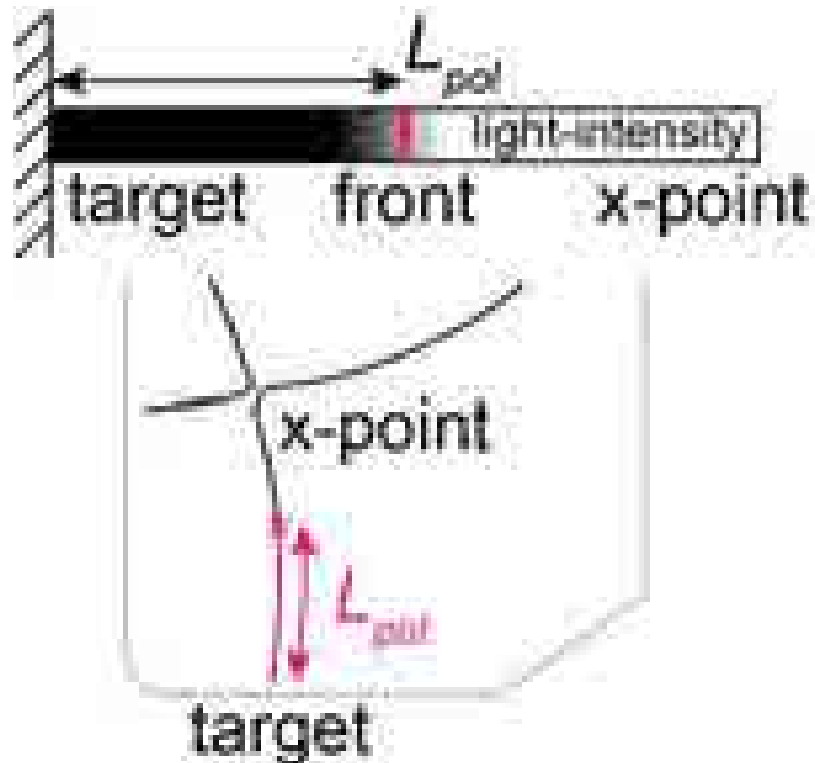


Section B

Control analysis

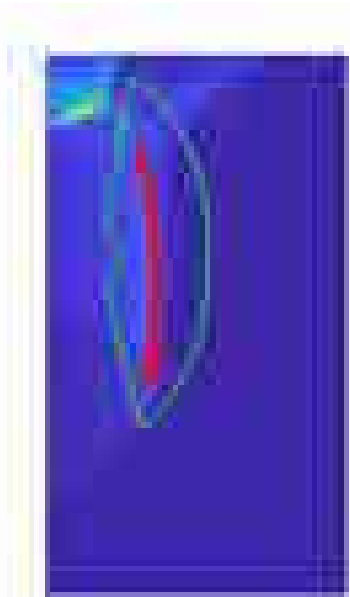
A. Detachment control at TCV (Lausanne)

Graphical overview of control loop with the different components

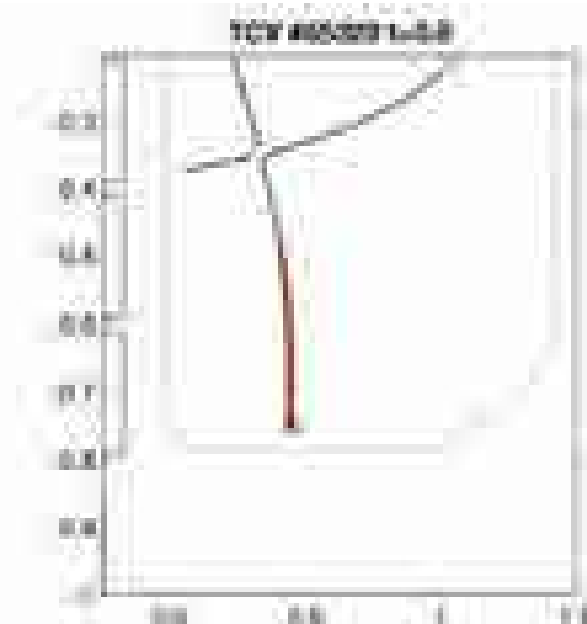


A. Detachment control at TCV (Lausanne)

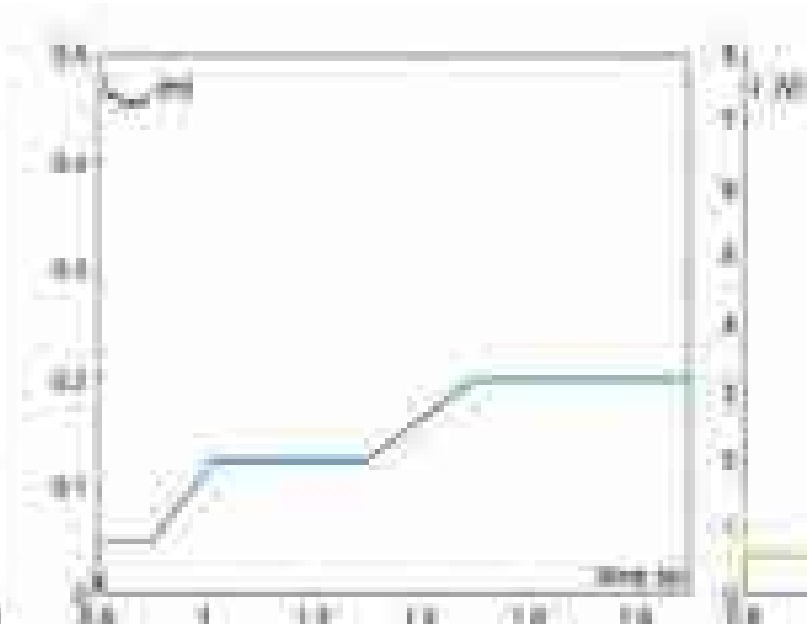
Using light from real-time camera, we can control the plasma using gas



Real-time camera images (CIII)



Detecting front location



Reference signal (blue)
Controlled experimental signal (red)



Actuator signal (amount of gas-puffed)



Interested (in internships, master thesis projects)?

Check:

<https://www.differ.nl/research/energy-control/research> -systems -and -

Contact:

Matthijs van Berkel (M.vanBerkel@differ.nl)

